

## ΓΡΑΝΙΤΙΚΑΙ ΔΙΕΙΣΔΥΣΕΙΣ ΕΝΤΟΣ ΤΟΥ ΜΕΤΑΜΟΡΦΩΜΕΝΟΥ ΣΥΣΤΗΜΑΤΟΣ ΕΙΣ ΑΝΑΤΟΛΙΚΗΝ ΘΕΣΣΑΛΙΑΝ

· Υπό

ΕΛΕΥΘΕΡΙΑΣ Ν. ΔΑΒΗ και ΓΕΩΡΓΙΟΥ Π. ΜΙΓΚΙΡΟΥ\*

Πρόσφατη (1979, 1980) γεωλογική έρευνά μας είς τήν περιοχήν τοῦ Κάτω Όλυμπου τῆς Ανατολικής Θεσσαλίας έδειξε τήν παρουσίαν γρανιτικῶν πετρωμάτων ἐντός τῶν μεταμορφωμένων σχηματισμῶν αὐτῆς.

Ἡ παρούσα μελέτη περιορίζεται εἰς τάς διά πρώτην φοράν πιστοποιουμένας πλουτωνίας διεισδύσεις εἰς τήν ἐν λόγῳ περιοχήν. Ἡ λεπτομερής έρευνα τοῦ μεταμορφωμένου συστήματος ἀποτελεῖ θέμα μεταγενεστέρας ἐργασίας.

Αἱ πλουτώνιοι διεισδύσεις εἰς τήν ἐν λόγῳ περιοχήν ἔχουν θίξει τόσον τοὺς βαθυτέρους ὁρίζοντας τῆς ἐνότητος Κρυόβρυσης - Καλλιπεύκης (βλέπε γεωλογικόν χάρτην) συνισταμένους κυρίως ἀπό γλαυκοφανιτικούς σχιστολίθους, ὅσον καὶ τούς ἐπ' αὐτῶν ἐπωθημένους σχηματισμούς τῆς ἐνότητος Πελαγωνικῆς ζώνης συνισταμένους ἀπό μάρμαρα, μαρμαρυγιακούς σχιστολίθους ἔως γνευσιοσχιστολίθους μετά ἐνστρώσεων μαρμάρων, ἀμφιβολίτας καὶ διμαρμαρυγιακούς γνευσίους.

΄Αντιπροσωπεύονται βασικῶς ὑπό γρανιτικῶν ἔως γρανοδιοριτικῶν τύπων. Έξαιρετικῶς μόνον σημειούται ἡ παρουσία διορίτου, ὡς καὶ, βάσει τελευταίων έρευνῶν μας, περιωρισμένης ἐκτάσεως ἐμφάνισις συηνίτου.

Ἡ κυριωτέρα καὶ μεγαλυτέρα εἰς ἐκτασιν πλουτωνία ἐμφάνισις παρουσιάζεται παρά τό ρεῦμα Διάβας, ΝΑ τοῦ χωρίου Όλυμπιας. Πλήν τῆς κυρίας αὐτῆς ἐμφανίσεως, ἀπαντοῦν τρεῖς ἀκόμη σημαντικές ἐμφανίσεις· ἡ πρώτη πλησίον τοῦ χωρίου Όλυμπιας, ἡ δευτέρα ΝΔ τοῦ χωρίου Συκαμινέα καὶ ἡ τρίτη ΒΑ τοῦ χωρίου Τσαρίτσανη. Εἰς τήν ἐν λόγῳ περιοχήν παρατηρεῖται καὶ πλῆθος ἄλλων μικροτέρων ἐμφανίσεων, αἱ ὅποιαι διασχίζουν τό κρυσταλλοσχιστῶδες. Ἡ ἐκτασίς των ποικίλλει, κυμαίνεται δέ μεταξύ ὀλίγων μέχρι 200 περίπου τετραγωνικῶν μέτρων. Αἱ μεταξύ τῶν πετρωμάτων τούτων σχέσεις βεβαιοῦν διά τήν προέλευσίν των ἐκ μιᾶς καὶ τῆς αὐτῆς μαγματικῆς ἐστίας, προφανῶς εἰς τό βάθος ἔχουσης μεγάλην ἐκτασιν, ἐνδεχομένως λακκολίθου, ὡς συνάγεται ἐκ τῶν πολυαριθμῶν καὶ ἐπί ἀρκετῆς ἐκτάσεως ἀπαντωμένων πλουτωνίων διεισδύσεων.

΄Ο κύριος ὅγκος τῶν πλουτωνίων πετρωμάτων ἀποτελεῖται, ὡς ἡδη ἐλέχθη, ἐκ γρανίτου ἔως γρανοδιορίτου ἐνδεχομένως καὶ χαλαζιακοῦ διορίτου. Παρά τάς

\* E.N. DAVIS - G.P. MIGIROS, Granitintrusionen im metamorphen System von Kato Olympos, Ost Thessalien Ψηφιακή Βιβλιοθήκη "Θεόφραστος" - Τμήμα Γεωλογίας, Α.Π.Θ.

γρανιτικάς αύτάς έμφανίσεις ἀπαντοῦν καὶ περιωρισμένης ἐκτάσεως έμφανίσεις συηνίτου καὶ διορίτου. Συχνή ἐπίσης είναι ἡ παρουσία ἀπλιτικῶν καὶ πηγματιτικῶν φλεβῶν ώς καὶ γρανιτικῶν, ἐνδεχομένως γρανοδιοριτικῶν πορφυρῶν.

Ἡ ἐπαφὴ τῶν γρανιτικῶν πετρωμάτων πρός τὸ κρυσταλλοσχιστῶδες είναι χαρακτηριστική. Ὁ πλουτωνίτης έμφανίζεται μὲν μορφήν διεισδύσεως ἐντός τῶν στρωμάτων τοῦ κρυσταλλοσχιστῶδους. Ὁ γρανίτης ἐδῶ περικλείει συχνά τεμάχη τῶν ἀρχικῶν σχιστολίθων, ἐντός τῶν ὅποιων εἰσέδινε. Τό μέγεθος τῶν τεμαχῶν τούτων ποικίλλει ἀπό δλίγας δεκάδας ἔως ἑκατοντάδας τετραγωνικῶν μέτρων ώς καὶ εἰς τὸν παρατιθέμενον γεωλογικόν χάρτην φαίνεται. Τά τεμάχη είναι σαφῶς ἀφθονώτερα εἰς τὴν ζώνην ἐπαφῆς καὶ συνίστανται ἀπό γνευσιοσχιστολίθους πλουσίους εἰς ζοϊστήν, ἐπίδοτον καὶ βιοτίην. Ἐμπλουτισμός εἰς ζοϊστήν καὶ βιοτίην παρατηρεῖται μᾶλλον πλησίον τοῦ πλουτωνίτου.

Εἰς τινας θέσεις παρά τὴν ζώνην ἐπαφῆς, σημειοῦται ἀνάμιξις μιγματιτῶν προερχομένων ἐκ τῆς ἀναμίξεως μάγματος καὶ προϋπαρχόντων πετρωμάτων. Μία τοιαύτη θέσης ἐντόνου μιγματιτιώσεως παρατηρεῖται εἰς τὴν περιοχήν μεταξύ τοῦ γρανίτου Συκαμινέας καὶ τοῦ γρανίτου Διάβας. Αὕτη συνίσταται εἰς διείσδυσιν γρανιτικοῦ ὄλικοῦ παραλλήλως πρός τὴν σχιστότητα τοῦ μεταμορφωμένου πετρώματος δόηγήσασαν εἰς τὴν δημιουργίαν ἐναλλασσομένων ταινιῶν γρανίτου καὶ σχιστολίθου. Τό πάχος τῶν γρανιτικῶν ταινιῶν κυμαίνεται ἀπό δλίγα ἑκατοστά μέχρις δλίγων μέτρων, είναι δέ δυνατόν νά ὑπερβῇ, ἔξαιρετικῶς, τά 10m. Εἰς μερικάς θέσεις θά ἡδύνατο νά δυμιλήσῃ τίς σαφῶς περὶ χωρισμιτῶν. Εἰς ἄλλας θέσεις πάλιν ἡ διείσδυσις είναι πυκνοτάτη καὶ λεπτομερής, οὕτως ὥστε δόηγει εἰς τὸν σχηματισμόν ἐκχισιγενῶν πετρωμάτων γνευσιακοῦ χαρακτῆρος. Ὁφθαλμώδεις γνεύσιοι, μὲ δόφθαλμούς ἔξ ἀλκαλικοῦ ἀστρίου, συναντῶνται ἐπίσης εἰς τὴν ἐπαφήν.

Παρουσία κερατιτῶν εἰς τὴν ζώνην ἐπαφῆς είναι ώσαύτως ἀρκούντως συχνή. συνήθως ὅταν ὁ γρανίτης ἔρχεται εἰς ἐπαφήν πρός ἀνθρακικούς σχηματισμούς. Δείγματα τούτων ἔχεταζόμενα ὑπό τὸ μικροσκόπιον συνίστανται κυρίως ἐκ γρανάτου ώς καὶ χαλαζίου εἰς ἀρκετήν περιεκτικότητα (γρανατίται).

Συχνά, κυρίως εἰς τὸ κεντρικόν τμῆμα τῶν πλουτωνίων έμφανίσεων παρατηροῦνται ἀναθολώσεις καὶ ἀνορθώσεις τοῦ μεταμορφωμένου συστήματος, προκληθεῖσαι ἐκ τῆς διεισδύσεως τοῦ πλουτωνίτου ἐντός αὐτοῦ (θέσις Καλύβια, ΝΔ Συκαμινέας, ώς καὶ παρά τὸ ὑψωμα 'Ορθόλιθος δυτικῶς τοῦ ρεύματος Διάβας). Ὁ διεισδυτικός χαρακτήρας είναι ἀναμφισβήτητος.

Λεπτομερής μελέτη τοῦ ἴστοῦ καὶ τῶν ὄρυκτολογικῶν συστατικῶν τῶν δξίνων πλουτωνιτῶν δεικνύει ὅτι πρόκειται περὶ γρανίτου, εἰς τὸν ὅποιον οὐδεμία βλαστογένεσις συνετελέσθη οὔτε καὶ ἀναμόρφωσις ὄλικοῦ.

Μηχανική ἐπίδρασις τῆς γενομένης μεταμορφώσεως ἐπὶ τοῦ πετρώματος, ἔξ αἰτίας τῆς ὅποιας ἐκδηλοῦται παράλληλος διάταξις τῶν ὄρυκτολογικῶν συστατικῶν παρατηρεῖται μόνον εἰς τὰ περιφερειακά τμήματα τῶν μεγαλυτέρων πλουτωνίων έμφανίσεων μέ αποτέλεσμα τὴν δημιουργίαν παραλλήλου ὑφῆς εἰς τὸν γρανίτην καὶ γρανοδιορίτην. Ὁ «σχιστώδης» αὐτός γρανίτης, ἀποτελεῖ προφανῶς τὴν φάσιν παρυφῆς τῆς κρυσταλλωθείσης πλουτωνίας μάζας. Ἀντιθέτως, εἰς τὸ ἐσωτερικόν τῶν έμφανίσεων ὁ ἴστος παροισιάζεται κοκκώδης καὶ μάλιστα

χονδροκοκώδης (π.χ. ρεῦμα Διάβας), δύμοίως δέ καί εἰς τάς μικράς ἀποφύσεις, ὅπου δέν παρατηρεῖται παράλληλος ὑφή εἰς τό πέτρωμα.

Εἰς τά ὅξινα μέλη (γρανιτικά ἔως γρανοδιοριτικά πετρώματα) δέν παρατηρεῖται κατάκλασις. Σημειοῦται δύμως συχνή κάμψις εἰς τούς κρυστάλλους τοῦ βιοτίτου καί τῶν ἀστρίων. Τούναντίον εἰς τόν βασικώτερον τύπον τοῦ διορίτου παρατηρεῖται μικροσκοπικῶς κατάκλασις, ἡ ὅποια ἐκδηλοῦται ίδιαιτέρως εἰς τούς κρυστάλλους τῆς κεροστίλβης. Ἀπλιτικαὶ καί πηγματιτικαὶ φλέβες πάχους κυμαινομένου ἀπό δλίγα ἐκατοστά, μέχρι καί 3m διασχίζουν ἀκανονίστως ὅχι μόνο τά περιβάλλοντα τόν πλουτωνίτην πετρώματα, ἀλλά καί αὐτόν τοῦν κρυσταλλικόν δγκον, πλησίον τοῦ ὅποίου καί καθίστανται πυκνότεραι καί παχύτεραι. Αὗται, ὡς τελευταῖα προϊόντα διαφοροποιήσεως τοῦ μάγματος, ἡκολούθησαν τάς ἐπιφανείας κατατμήσεως τοῦ ἥδη κρυσταλλωθέντος γρανίτου. Αἱ διευθύνσεις τῶν κατατμήσεων τούτων μετρηθεῖσαι εἰναι  $B40^{\circ}\Delta$  καὶ  $B40^{\circ}A$ , ἥτοι παρουσιάζονται τεμνόμεναι ὑπό γωνίαν  $80^{\circ}$ . Συχναί ἐπίσης εἰναι καί αἱ χαλαζίαι καὶ φλέβες, αἱ ὅποιαι διασχίζουν τόσον τό μεταμορφωμένον σύστημα ὅσον καὶ τόν πλουτωνίτην, ἀκολουθοῦσαι τάς ἀναφερθείσας ἀπλιτοπηγματιτικάς φλέβας.

Ἡ διείσδυσις τοῦ κυρίου δγκον τοῦ πλουτωνίτου πρέπει νά δεχθῶμεν ὅτι προηγήθη τῆς παροξυσμικῆς φάσεως τοῦ τεκτονισμοῦ τῆς περιοχῆς. Ἐνδεχομένως ἡ διείσδυσις ἐγένετο ὑπό ταυτόχρονον κατευθυνομένην πίεσιν, ἀποτέλεσμα τῆς ὅποιας εἰναι ἡ παράλληλος διάταξις τῶν ὀρυκτολογικῶν συστατικῶν τοῦ πετρώματος, ὡς καί ἡ ἐπιμήκυνσις μερικῶν ἐκ τούτων, ὡς π.χ. τοῦ χαλαζίου καὶ τῶν ἀστρίων. ἀκόμη δέ καὶ ἡ παρατηρουμένη κάμψις αὐτῶν.

Συνεπῶς οἱ ὡς ἄνω πλουτωνίται εἰναι προτεκτονικοί σχηματισμοί καί ὡς ἐκ τῶν στρωματογραφικῶν δεδομένων πού κατωτέρω ἐκτίθενται, τῆς ἀλπικῆς ὁρογενέσεως.

Προσδιορισμός τῆς ἀπολύτου ἡλικίας τῶν γρανιτικῶν διεισδύσεων βάσει ραδιοχρονολογήσεων δέν ἐγένετο μέχρι τοῦδε. Ἡ σχετική ἡλικία δύμως αὐτῶν δύναται νά προσδιορισθῇ ἐπί τῇ βάσει στρωματογραφικῶν δεδομένων. Ὡς ἐκ τῶν γεωλογικῶν δεξιώμενων συνάγεται, ἡ ἐνότης τῆς Πελαγωνικῆς ζώνης εἰναι ἐπωθημένη ἐπί τῆς ἐνότητος Κρυόβρυσης - Καλλιπεύκης, ἀμφότεραι δέ αἱ ἐνότητες αὐταὶ θίγονται ὑπό τῶν γρανιτικῶν διεισδύσεων. Ἡ ἡλικία τῆς ἐπωθήσεως αὐτῆς, βάσει ἀπολιθωμάτων, θεωρεῖται νεωτέρα τοῦ "Ανω Κρητιδικοῦ". Ἐπιπροσθέτως αἱ ἐνότητες Κρυόβρυσης - Καλλιπεύκης καί Πελαγωνικῆς ζώνης φέρονται ἐπωθημέναι ἐπί τῆς αὐτοχθόνου ἐνότητος τοῦ "Ολύμπου", ἡ ὅποια δύμως οὐδαμοῦ θίγεται ὑπό τῶν γρανιτικῶν διεισδύσεων. Ἡ ἡλικία τῆς ἐπωθήσεως αὐτῆς θεωρεῖται νεωτέρα τοῦ μέσου "Ηωκαίνου" [4].

"Ως ἐκ τῶν ἀνωτέρω προκύπτει, αἱ γρανιτικαὶ διεισδύσεις ὡς διασχίζουσαι τούς σχηματισμούς τόσον τῆς ἐνότητος Κρυόβρυσης - Καλλιπεύκης, δύσον καί τῆς Πελαγωνικῆς ζώνης, καί μή θίγουσαι τούς σχηματισμούς τῆς ἐνότητος "Ολύμπου, δύνανται νά θεωρηθοῦν νεώτεραι τοῦ "Ανω Κρητιδικοῦ καί παλαιότεραι τοῦ Μέσου "Ηωκαίνου".

Εἰς τό αὐτό συμπέρασμα καταλήγομεν καί βάσει τῆς μικροσκοπικῆς ἐξετάσεως τῶν πλουτωνιτῶν, ὡς ἥδη ἀνεφέρθη.

Τά προσδιορισθέντα μικροσκοπικώς δρυκτολογικά συστατικά είναι τά κάτωθι.

### 1. Γρανίτης - Γρανοδιορίτης

Χαλαζίας. Απαντᾶ ἀφθόνως εἰς τὸν γρανοδιορίτην. Συχνά μὲ κυματώδη κατάσβεσιν. Ἐνίστε θρυμματισμένος.

Μικροκλινίτης. Ο καλιούχος ἀστριος εἰς τὸν γρανίτην καὶ γρανοδιορίτην ἀντιπροσωπεύεται ὑπὸ τοῦ μικροκλινοῦ. Μακροσκοπικῶς παρουσιάζει χρῶμα λευκόν, ὑπότεφρον, καστανορόδινον.

Μικροσκοπικῶς παρουσιάζει σχεδόν κατά κανόνα διδυμίαν κατά Karlsbad, ὡς καὶ τὴν χαρακτηριστικὴν πολυδυμίαν ὑπὸ μορφήν πλέγματος, λόγω συνυπάρξεως τοῦ ἀλβίτικοῦ καὶ τοῦ περικλινικοῦ νόμου. Τὰ περατωτικά ὅρια τῶν πολυδύμων πλακιδίων ἄλλοτε είναι σαφῆ καὶ ἄλλοτε παρουσιάζονται μὲ διάχυτον κατάσβεσιν. Ἐνίστε οἱ κρύσταλλοι τοῦ μικροκλινοῦ παρουσιάζονται κεκαμμένοι. Ἡ γωνία ὀπτικῶν ἀξόνων μετρηθεῖσα διά τῆς τραπέζης Fedorow, ἔδωσε τάς ἀκολούθους τιμάς:

(-) 2V 84°, 85°, 84.5°, 86°, 88°, 89°

Εἰς τοὺς ἀπλίτας καὶ πηγματίτας (εἰκ. 3) προσδιωρίσθη κατά τι μικροτέρα γωνία ὀπτικῶν ἀξόνων ἦτοι:

(-) 2V 79°, 80°, 82°

Οἱ κρύσταλλοι τοῦ μικροκλινοῦ περιέχουν κατά κανόνα ἀλβίτην ὑπό



Εἰκ. 1. Βιοτίτικός κεροστιλβικός γρανοδιορίτης.  
Μεγέθυνσις X 35. NICOLS διεσταυρωμένα. Συκαμινέα.  
Ψηφιακή Βιβλιοθήκη "Θεόφραστος" - Τμήμα Γεωλογίας. Α.Π.Θ.



Εἰκ. 2. Μικροπηγματίτης.

Μεγέθυνσις X 35, NICOLS διεσταυρωμένα. Ραύμα Διάβας.

μορφήν περθιτικής έμφανίσεως. Μακροπερθίται δέν παρετηρήθησαν. Ο άλβιτης παρουσιάζεται ως μικροπερθίτης.

Τά πλακίδια τοῦ άλβιτοῦ διακρίνονται εἰς τά μικροσκοπικά παρασκευάσματα ως ταυνίαι ή κλωσταὶ ή αίχμαι βελόνης ή καὶ κηλίδες, ἀναλόγως τοῦ προσανατολισμοῦ τῆς τομῆς. Τά πλακίδια τοῦ περθιτικοῦ άλβιτοῦ προσανατολίζονται πάντοτε σχεδόν, παραλλήλως πρός τό ἐπίπεδον (100) τοῦ περιέχοντος αὐτά κρυστάλλου. Συχνή εἶναι καὶ ή ἀνομοιογενής κατάσβεσις εἰς τοὺς κρυστάλλους τοῦ μικροκλινοῦ.

Παρετηρήθησαν ἐπίσης μιρμηκικαὶ έμφανίσεις, δηλαδὴ σκωληκόμορφοι συγκεντρώσεις χαλαζίου ἐντός πλαγιοκλάστου, δχι μακράν τῆς ἐπαφῆς πλαγιοκλάστου - καλιούχου ἀστρίου.

Π λ. α γ ι ο κ λ α σ τ α. Ἀπαντοῦν εἰς δλους τοὺς πετρολογικοὺς τύπους. Συχνά περιέχουν ἐγκλείσματα. Ἐνιοτε έμφανίζονται εἰς κεκαμμένους κρυστάλλους. Παρουσιάζουν προκεχωρημένην κατά τό πλεῖστον σερικιτίωσιν. Η περιεκτικότης των εἰς ἀνορθίτην κυμαίνεται ἀναλόγως τοῦ τύπου τοῦ πετρώματος.

Εἰς τὸν γρανίτην καὶ γρανοδιορίτην κυμαίνεται ἀπό 23-30%, ἐνδεχομένως καὶ 35% Απ., μέ σχετικήν συχνότητα ἀπό 27-30% Απ. Εἰς τοὺς ἀπλίτας καὶ πηγματίτας κατέρχεται μέχρι καὶ 13-18% Απ.

Βιοτίτης. Ἀπαντᾶ ἐν ἀφθονίᾳ εἰς τὸν γρανίτην καὶ γρανοδιορίτην ως καὶ εἰς τὸν διορίτην. Συχνά ἀντικαμιστᾶ τὴν κεροστίλβην, ή ὅποια παρουσιάζεται (ἐνιοτε) ἀσταθής εἰς τὰς κρατούσας συνθήκας. Εξαλλοιοῦται εἰς χλωρίτην καὶ ἐπίδοτον.

Μ ο σ χ ο β ί τ η ζ. Ἀφθονεῖ εἰς ὥρισμένας τομάς.

Κ ε ρ ο σ τ ί λ β η π ρ α σ ί ν η. Ἀπαντᾶ τόσον εἰς τόν τύπον τοῦ γρανοδιορίτου ὅσον καὶ εἰς τόν τύπον τοῦ διορίτου, ὀλιγώτερον ἄφθονος εἰς τόν γρανίτην. Εἰς τούς δξινωτέρους τύπους ἐμφανίζεται συχνά ἀσταθής ἀντικαθιστα- μένη ὑπό τοῦ βιοτίτου. Ἐνίστε παρουσιάζει κατάκλασιν.

c/nγ 19°, 20°, 22°.

(-)2V 70°, 71°, 70.5° διά ιῶδες φῶς

(-)2V 74.5°, 75°, 75.5° διά ἐρυθρόν φῶς

ρ>ν

Χ λ ω ρ ί τ η ζ. Δευτερογενής, προελθών ἐκ τῆς ἔξαλλοιώσεως τοῦ βιοτίτου.

Ἐ π ί δ ο τ ο ν ιδίως εἰς τήν ἐπαφήν πλουτωνίτου - σχιστολίθων.

Τ ι τ α ν ί τ η ζ περισσότερον ἄφθονος εἰς τούς ἀπλίτας.

Ζ ι ρ κ ο ν ι ο ν.

Μ α γ ν η τ ί τ η ζ.

Α π α τ ί τ η ζ.

## 2. Διορίτης.

Ο τύπος αὐτός τοῦ πετρώματος παρουσιάζεται πολύ περιωρισμένος εἰς ἔκτασιν καὶ μόνον πλησίον τοῦ ρεύματος Διάβας (βλ. χάρτην), προφανῶς δέ προέρχεται ἐκ τῆς διαφοροποιήσεως ἐνός καὶ τοῦ αὐτοῦ μάγματος.

Τό χρῶμα τοῦ πετρώματος είναι μέλαν ἔως μελανοπράσινον. Μικροσκοπικῶς ἀποτελεῖται ἐκ μεγάλης ἀναλογίας κεροστίλβης καὶ βιοτίτου (ἢ βιοτίτου καὶ κεροστίλβης), ἐνῶ ἡ προκεχωρημένη ἔξαλλοιώσις τῶν πλαγιοκλάστων δέν ἐπιτρέπει προσδιορισμόν τῆς περιεκτικότητός των εἰς ἀνορθίτην.

## 3. Συηνίτης

Η ἐμφάνισις τοῦ συηνίτου, πολύ περιωρισμένη εἰς ἔκτασιν, ἀπαντᾶται εἰς τήν περιφερειακή ζώνη τῶν γρανιτῶν, ὡς μεταβατικός τύπος πρός μικρογρανίτην. ΒΔ τοῦ χωρίου Πουρνό. Τό χρῶμα τοῦ πετρώματος παρουσιάζεται τεφρόν ἔως ἀνοικτόν τεφρόν. Μικροσκοπικῶς ἀποτελεῖται ἐκ μεγάλης ἀναλογίας ἀλκαλικοῦ ἀστρίου (δρθοκλάστου), βιοτίτου ώς καὶ ἐκ πρασίνης κεροστίλβης συχνά εἰς βιοτίτην ἔξαλλοιωμένης. Χαλαζίας ἐλλείπει.

Ο προσδιορισμός τῆς περιεκτικότητας εἰς ἀνορθίτη τῶν πλαγιοκλάστων διά τῆς τραπέζης Fedorow, δέν κατέστη δυνατότερον. Ἡ διά τῆς ἔξαλλοιώσεως αὐτῶν εἰς σερικίτη καὶ χλωρίτη. Εἰς μικρά ὑπολείμματα ἀναλογιώτων κρυστάλλων προσδιωρίσθη ἡ περιεκτικότης εἰς ἀνορθίτην βάσει τῆς κατασβεστικῆς γωνίας εἰς τήν ζώνη συμμετρίας καὶ ἀνέρχεται εἰς 25-28% Απ.

Μέ σκοπόν τήν μελέτην τοῦ χημικοῦ τῶν ἀπαντώντων πετρολογικῶν τύπων ἐγένοντο 6 πλήρεις χημικαὶ ἀναλύσεις ἐκ τῶν ἀντιπροσωπευτικῶν τύπων αὐτῶν.

Αἱ ἀναλύσεις αὗται περιλαμβάνονται εἰς τόν πίνακα 1. Εἰς τόν πίνακα 3

δίδεται ή έκατοστιαία άναλογία τῶν δρυκτολογικῶν συστατικῶν τῶν άναλυθέντων δειγμάτων.

Εἰς τόν πίνακα 4 άναγράφονται τά χημικά μεγέθη κατά NIGGLI, ώς καί διαγματικός τύπος τοῦ πετρώματος, εἰς τόν πίνακα 5 τά μεγέθη βάσεως, εἰς τόν πίνακα 6 ή δυνητική δρυκτολογική σύστασις (Katastandardnorm), τέλος δέ εἰς τόν πίνακα 7 τά μεγέθη Q, L, M, π καί γ.

ΠΙΝΑΞ 1

	1	2	3	4	5	6
SiO <sub>2</sub>	75.5	69.5	63.0	62.0	50.0	54.00
Al <sub>2</sub> O <sub>3</sub>	12.3	13.9	14.7	16.10	19.0	16.10
Fe <sub>2</sub> O <sub>3</sub>	1.0	2.1	2.48	2.40	4.2	4.86
FeO	—	1.3	3.46	2.71	5.76	3.01
MnO	0.04	0.09	0.14	0.15	0.22	0.16
MgO	0.2	1.1	2.2	2.7	4.20	3.30
CaO	1.2	1.8	4.5	5.0	7.0	4.50
Na <sub>2</sub> O	3.9	3.4	2.9	3.5	3.8	6.20
K <sub>2</sub> O	4.2	4.2	3.2	2.2	2.3	4.10
P <sub>2</sub> O <sub>5</sub>	-	-	-	-	-	-
TiO <sub>2</sub>	0.06	0.3	0.6	0.5	0.8	1.00
H <sub>2</sub> O	1.3	2.1	2.6	2.6	2.55	2.53
±H <sub>2</sub> O						
	99.70	99.79	99.78	99.86	99.83	99.76

\* Αναλυτής: Ινστιτούτον Γεωλογικῶν καί Μεταλλευτικῶν \* Ερευνῶν (Ι.Γ.Μ.Ε.).

1. Απλιτικός γρανίτης. Όλυμπιας.
2. Βιοτιτικός γρανίτης παρυφής. Συκαμινέα.
3. Κεροστιλβικός - βιοτιτικός γρανοδιορίτης. Συκαμινέα.
4. Βιοτιτικός - κεροστιλβικός γρανοδιορίτης. Διάβας.
5. Κεροστιλβικός - βιοτιτικός διορίτης. Ρεῦμα Διάβας.
6. Κεροστιλβικός - βιοτιτικός συνηνίτης. ΒΔ χωρίου Πουρνό.

Τιμαί ίχνοστοιχείων τῶν 4 γρανιτικῶν καί γρανοδιοριτικῶν τύπων άναγράφονται εἰς τόν πίνακα 2.

ΠΙΝΑΞ 2

Ba .....	155 .....	1220 .....	730 .....	1060
Ce .....	22 .....	120 .....	60 .....	96
Co	—	—	—	—
Cz .....	3 .....	6 .....	2 .....	24
Cu .....	2 .....	2 .....	2 .....	2
Mn .....	230 .....	375 .....	689 .....	1136
Ni .....	2 .....	2 .....	2 .....	4

Pb .....	29 .....	29 .....	18 .....	2	
Rb .....	229 .....	184 .....	132 .....	78	
Sc .....	5 .....	3 .....	14 .....	20	
Th .....	21 .....	35 .....	19 .....	2	
V .....	2 .....	18 .....	73 .....	131	
Zn .....	12 .....	38 .....	61 .....	70	
Zr .....	57 .....	200 .....	167 .....	236	
La .....	39 .....	78 .....	38 .....	58	
Nd .....	19 .....	31 .....	30 .....	47	

### ΠΙΝΑΞ 3

Έκατοστιαία άναλογία όρυκτολογικών συστατικών εις τούς άπαντωμένους πετρολογικούς τύπους.

	1	2	3	4	5	6
Χαλαζίας	28.4	25.4	25.0	16.5	5.0	—
Άλκαλικός ἄστριος	46.4	27.6	13.3	20.5	2.0	50.3 (όρθοκλ.)
Πλαγιόκλαστα	23.8	35.8	41.0	44.6	49.5	17.0
Βιοτίτης	—	8.0	4.0	8.0	5.6	21.0
Κεροστίλβη	—	—	11.3	7.3	35.6	7.4
Τιτανίτης, ἀπατίτης	1.4	2.2	4.1	3.2	2.2	4.3
Αδιαφανή όρυκτα						

### ΠΙΝΑΞ 4

Μεγέθη NIGGLI

	si	al	fm	c	alk	k	mg	ti	qz	Μαγματικός τύπος
1	470.8	44.9	6.7	7.9	40.5	0.42	0.27	0.4	+ 208.8	alkaligranitisch
2	340.3	40.0	21.2	9.4	29.4	0.45	0.38	1.3	+ 122.7	tasnagranitisch
3	239.5	32.8	30.6	18.3	18.3	0.43	0.40	1.6	+ 66.3	normalquarzdioritisch
4	216.8	33.2	31.1	18.7	17.0	0.30	0.45	1.3	+ 48.8	normalquarzdioritisch
5	132.9	28.1	38.2	20.0	13.7	0.29	0.44	1.6	- 22.0	monzonitdioritish
6	158.3	27.8	32.7	14.1	25.4	0.30	0.44	0.2	- 43.3	normalnatrosyenitisch/ melanatrosyenitisch

	Q	Kp	Ne	Cal	Cs	Sp	Fs	Fa	Fo	Ru
1	58.4	15.4	21.5	2.8	0.3	—	1.0	0.1	0.4	0.1
2	53.3	15.5	19.1	5.5	—	0.7	2.3	1.7	2.0	0.2
3	47.1	11.9	16.4	11.0	1.5	—	2.7	4.3	4.7	0.4
4	45.0	8.2	19.5	13.2	1.0	—	3.6	3.4	5.8	0.3
5	30.1	8.7	21.3	15.5	3.0	—	4.5	7.2	9.0	0.5
6	27.2	14.8	33.7	2.4	5.6	—	5.1	3.7	6.9	0.6

ΠΙΝΑΞ 6

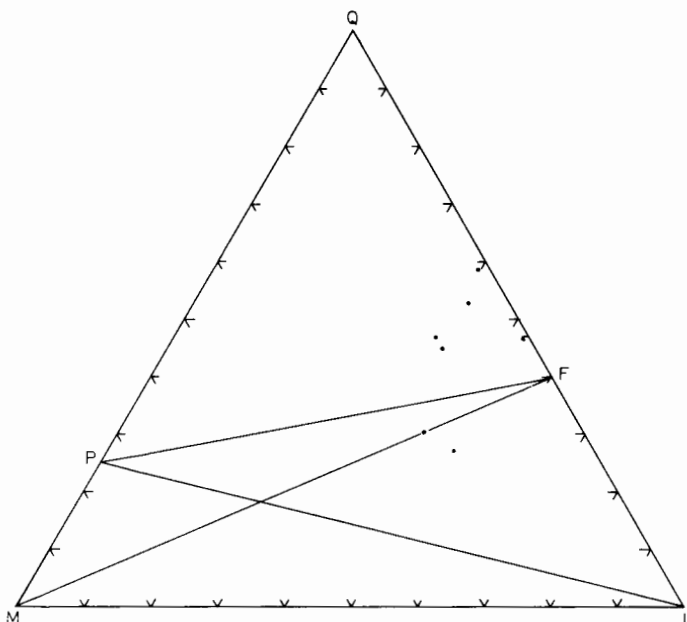
Δυνητική όρυκτολογική σύστασις.

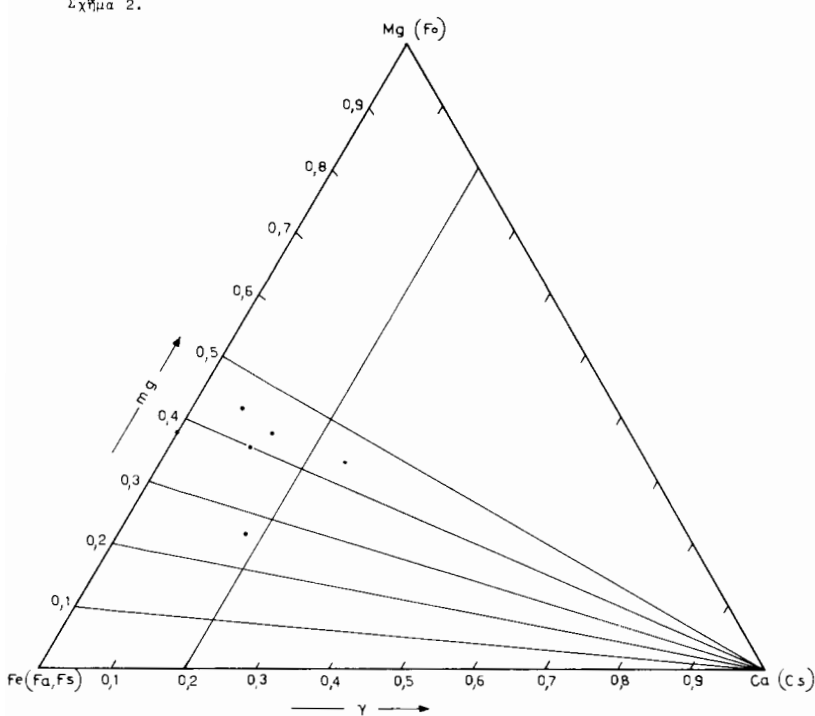
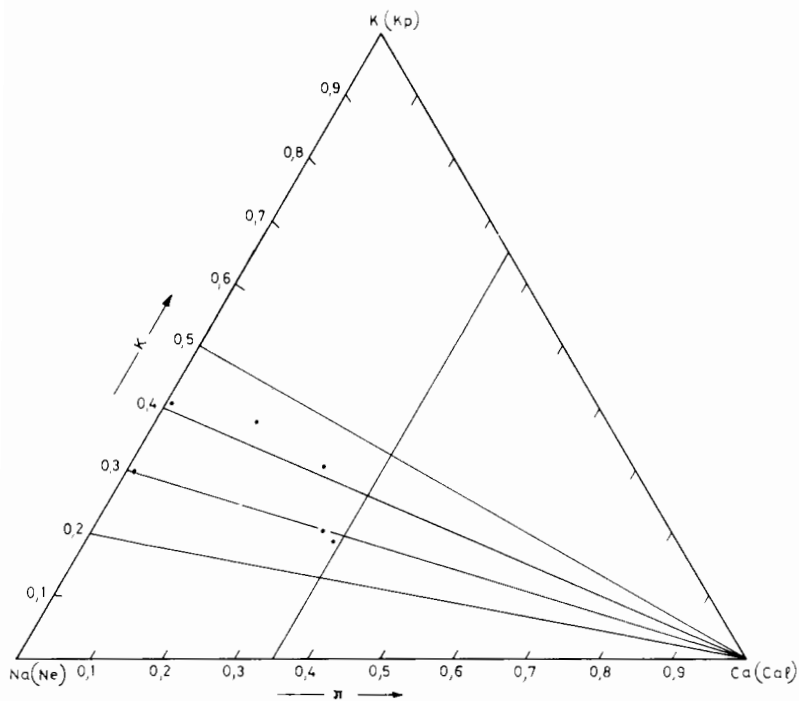
	Q	Or	Ab	An	Wo	En	Hy	Fa	Fo	Cord	Mt	Hm	Ru	Ne
1	31.4	25.7	36.3	4.7	0.5	0.5	—	—	—	—	0.2	0.5	0.1	—
2	26.0	26.0	31.8	9.3	—	2.6	0.7	—	—	1.2	2.3	—	0.2	—
3	18.9	19.9	27.3	18.3	2.5	6.1	3.9	—	—	—	2.7	—	0.4	—
4	16.8	13.7	32.5	22.0	1.3	7.7	2.1	—	—	—	3.6	—	0.3	—
5	—	14.5	21.7	25.9	5.1	4.0	5.9	0.6	8.0	—	4.5	—	0.5	—
6	—	24.2	30.7	4.0	9.3	9.2	1.6	—	—	—	5.1	—	0.6	15.4

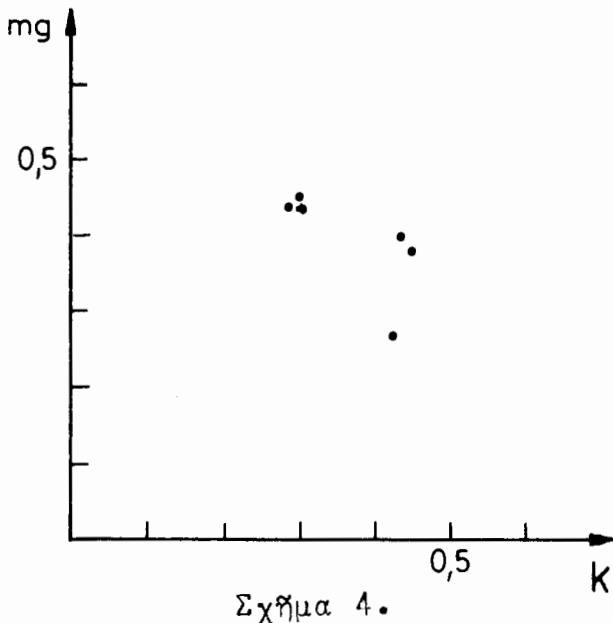
ΠΙΝΑΞ 7

	Q	L	M	$\pi_{\bullet}$	$\gamma$
1	58.4	39.7	1.9	0.07	0.17
2	53.2	40.2	6.6	0.14	—
3	47.1	39.3	13.6	0.27	0.11
4	45.0	40.9	14.1	0.32	0.07
5	30.1	45.4	24.5	0.34	0.13
6	27.2	50.9	21.9	0.05	0.26

Πρός πλ. πρέστερον χαρακτηριστικόν τῶν μαγμάτων ἐγένοντο αἱ προβολαὶ τῶν σημείων εἰς τὰ τρίγωνα QLM, KNaCa καὶ MgFeCa (σχ. 1, 2, 3).







Όξεις έκ τοῦ τριγώνου QLM φαίνεται, τά σημεῖα προβολῶν τῶν γρανιτῶν καὶ γρανοδιοριτῶν εὑρίσκονται ἄνωθεν τῆς γραμμῆς PF, ἀλλωστε αἱ τιμαὶ qz τῶν ἐν λόγῳ πετρωμάτων εἶναι ὅλαι θετικαὶ καὶ ὑψηλαὶ.

Μόνον τά σημεῖα προβολῆς τοῦ διορίτου καὶ τοῦ συηνίτου εὑρίσκονται κάτωθεν τῆς γραμμῆς PF, ἡ ὁποία διαχωρίζει τά σημεῖα προβολῶν τῶν μαγμάτων τῶν πετρωμάτων μέ δυνητικὸν ἀφ' ἐνός χαλαζίαν καὶ τῶν ἐλειυθέρων ἀφ' ἔτερου μέ δυνητικὸν χαλαζίαν. Τοῦτο ἀλλωστε καθίσταται ἐμφανές καὶ ἐκ τῆς ἀρνητικῆς τιμῆς τοῦ qz διά τά πετρώματα αὐτά.

Ἐκ τοῦ σχήματος 5 καὶ 6 φαίνεται σαφῶς ὅτι τά μάγματα ὅλων τῶν πετρολογικῶν τύπων ἀνήκουν εἰς τόν εἰρηνικόν (ἀσβεσταλκαλικόν) τύπον μέ τιμὴν κ σχετικῶς ὑψηλὴν διά τά ὁξινώτερα μέλη, ὡς καὶ σχετικῶς περιωρισμένην διαφοράν al-alk.

Ἐνδεχομένως ἀνταποκρίνεται εἰς τά μάγματα τύπου «Sierra Nevada, Effusiv-gesteine» κατά BURRI, εἰρηνικοῦ τύπου κατά τό σύνολόν των.

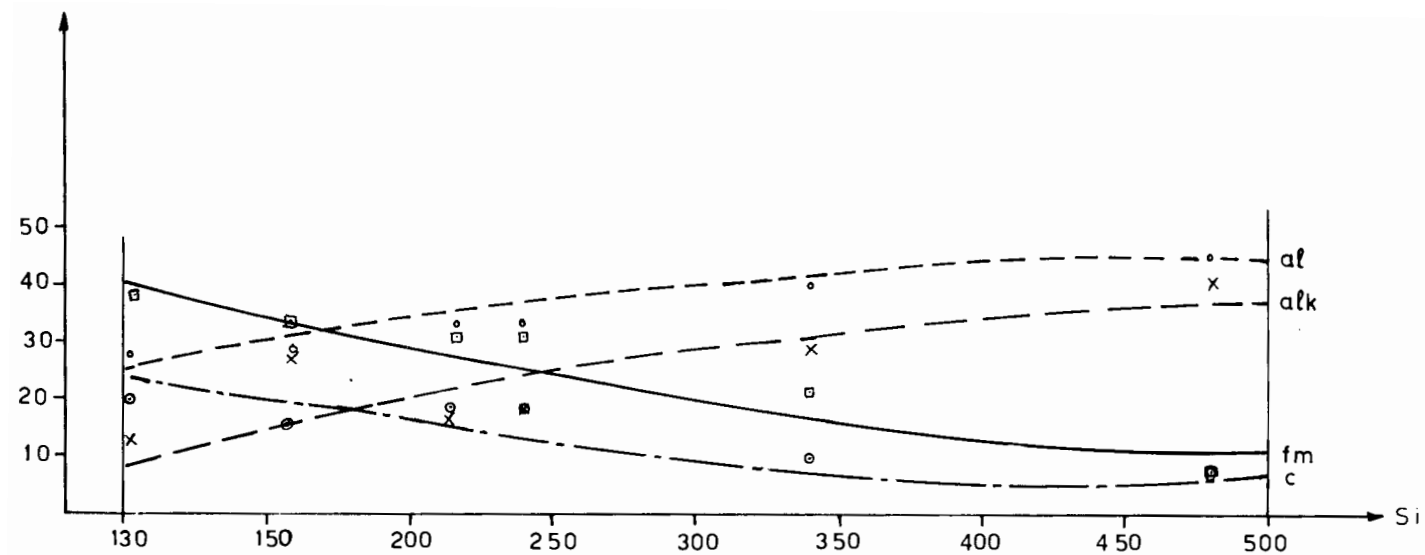
#### Z u s a m m e n f a s s u n g

Im Gebiet von Kato Olympos, Ost Thessalien, sind zum ersten Mal Granit-bzw. Granodioritvorkommen festgestellt worden. Diese Plutonite stellen eine Intrusion im metamorphen System des Gebietes dar.

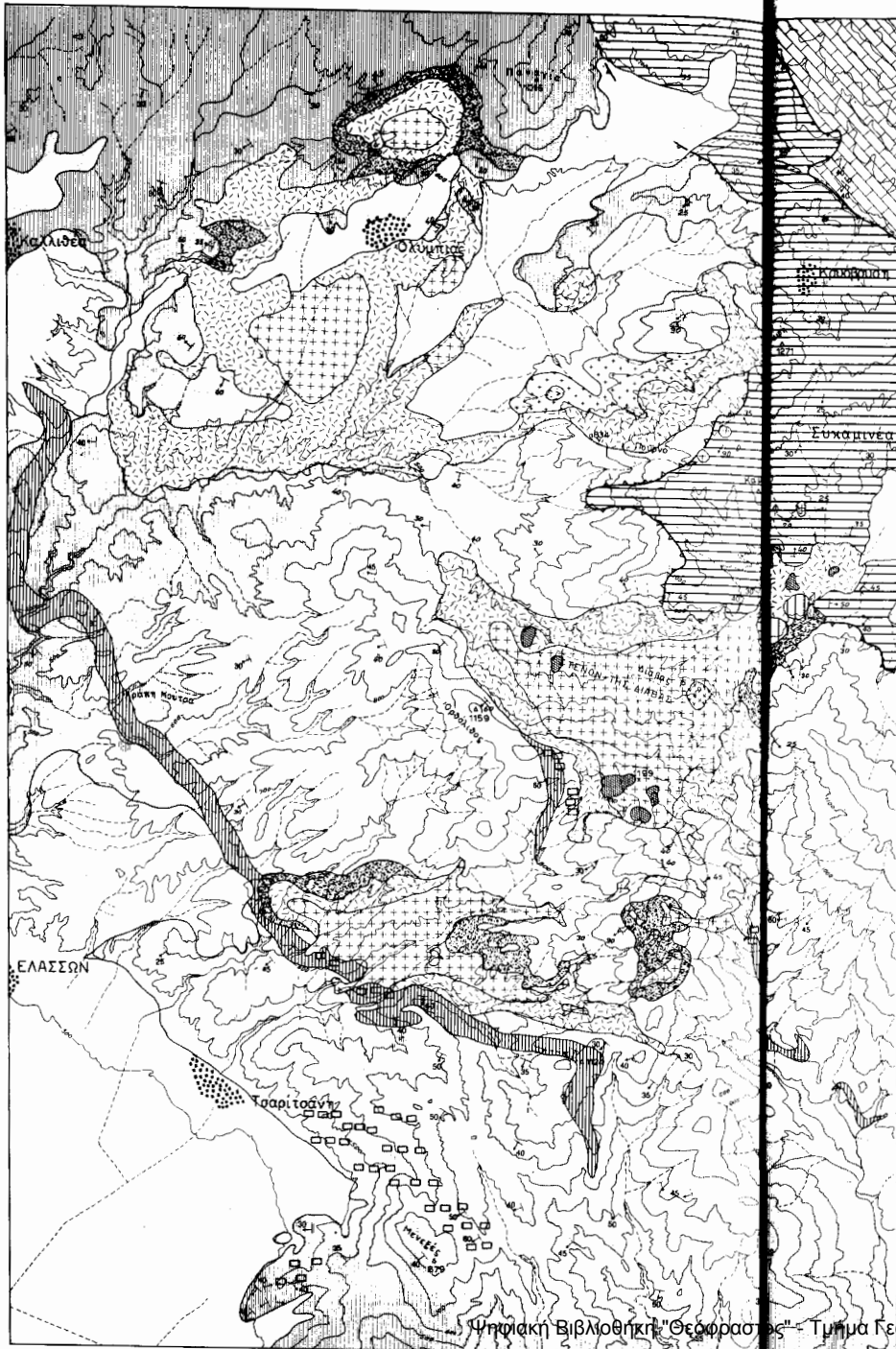
Es handelt sich hauptsächlich um Granite und Granodiorite, die eine relativ grosse Ausdehnung besitzen. Nur zwei begrenzte Diorit - und Syenitvorkommen treten bei Stenon Diavas und bei Pournou auf, und dürften als Kristallisationsdifferenziate des gleichen Magmas aufzufassen sein. Aplit- und Pegmatitgänge sowie auch Granit-bzw. Granodioritporphyre begleiten den Plutonit.

Der Kontakt des Plutonits zu den umliegenden Schiefern ist typisch. Der Plutonit schliesst oft Schieferfragmente ein, die sehr reich an Biotit und Epidot sind.

Ψηφιακή Βιβλιοθήκη "Θεόφραστος" - Τμήμα Γεωλογίας. Α.Π.Θ.



Σχήμα 5.

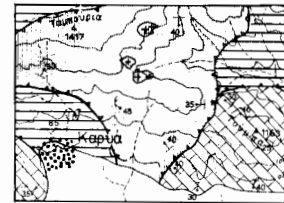


ΓΕΩΛΟΓΙΚΟΣ ΧΑΡΤΗΣ  
ΓΡΑΝΙΤΙΚΩΝ ΔΙΕΙΣΔΥΣΕΩΝ ΠΕΡΙΟΧΗΣ ΚΑΤΩ ΟΛΥΜΠΟΥ ΘΕΣΣΑΛΙΑΣ

ΚΑΙΜΑΞ 1:50 000

0 1 km

ΥΠΟ  
Γ. Π. ΜΙΓΚΙΡΟΥ



ΥΠΟΜΝΗΜΑ

- [Empty box] Νεογενεῖς καὶ Τεταρτογενεῖς άποθέσεις.
- [Vertical plus signs box] Γρανίτης ἥως γρανοδιορίτης.
- [Dotted box] Μικρογρανίτης.
- [Horizontal lines box] Διορίτης
- [Crosses box] Συηνίτης.
- [Diagonal lines box] „Σχιστώδης γρανίτης„ παρυφῶν τῶν γρανιτικῶν διεισδύσεων.
- [Cross-hatched box] Ζώνη μὲ συχνές ἐμφανίσεις μυγματιτῶν καὶ ἄλλων φαινομένων ἀναμίξεως καὶ μεταμορφώσεως ἐπαφῆς.
- [Small squares box] Κερατίτες.
- [Large shaded box] Τεμάχη μεταμορφωμένων οχυματιομῶν ἔγκλωβισμένα μέσου στίς γρανιτικές μάζες.
- [Empty box] Σχηματιομοί τῆς ἐνότητας Πελαγονικῆς ζώνης.
- [Horizontal lines box] Ἐνστρώσεις μαρμάρων μὲ οχιοτολιθικές παρεμβολές μέσα στοὺς οχυματιομούς τῆς ἐνότητας Πελαγονικῆς ζώνης.
- [Horizontal lines box] Σχηματιομοί τῆς ἐνότητας Κρυόβρυστης - Καλλιπεύκης.
- [Hatched box] Σχηματιομοί τῆς ἐνότητας Όλύμπου.
- Γεωλογικό στρώμα.
- Διεύθυνση καὶ ακίοι στρωμάτων.
- Γραμμή ἐπειδήσεως νεώτερη τῶν γρανιτικῶν διεισδύσεων.
- Γραμμή ἐπειδήσεως παλαιότερη τῶν γρανιτικῶν διεισδύσεων.

An vielen Stellen ist eine Injektionsmetamorphose sowie auch Migmatitbildung in der Kontaktzone sehr charakteristisch. Hornfelse (Granatfelse) sind auch in der Kontaktzone zu beobachten.

Am Rand des Plutons sind gewölbte Formen bei den Schiefern häufig, die mit dem Aufstieg des Magmas zusammenhängen.

Eine ausführliche mikroskopische Untersuchung der Struktur sowie des Mineralbestandes der Gesteine zeigt, dass keine Metablastese oder Umwandlung des Materials stattgefunden hat. Nur eine randliche mechanische Wirkung auf das Gestein ist zu beobachten, was sich durch die parallele Anordnung der Bestandteile bemerkbar macht.

Daraus ergibt sich, dass die oben erwähnten Plutonite fruh tektonische Bildungen darstellen.

Auf Grund der stratigraphischen Beweisen stellt sich das Alter der Intrusion zwischen Oberkreide und Mitteleozän.

Petrochemisch handelt es sich um Magmen von pazifischem Charakter mit einer Tendenz in den sauren Gliedern gegen sehr schwach kalireiche Magmen (Sierra-Nevada-Typus nach BURRI).

### ΒΙΒΛΙΟΓΡΑΦΙΑ

- AUBOUIJN J.: Une coupe du Pinde méridional entre la Thessalie et l' Épire (Grèce). *Bull Soc. Géol. France*, 6, V, p. 143-154, 1955.
- AUBOUIJN J.: Contribution à l' étude géologique de la Grèce septentrionale: Les confins de l' Épire et de la Thessalie. *Thèse, Paris, Ann. Géol. p. Hell.*, t.X, p. 1-483, 1959a.
- ΔΑΒΗ Ε.Ν. Προέκτασις τῶν ὄριών τῆς Πελαγωνικῆς μάζης εἰς τὴν περιοχὴν Τσιοτίου - Καρδίτσης. *Πρακτικά Ἀκαδημίου Ἀθηνῶν* 41, 1966.
- DERYCKE F. et J. GODFRIAUX, A cross section in the Olympus area, Thessaly, Greece. VI *Colloquium on the Geology of the Aegean Region*. Athens, 1977, Volume I, Proceedings.
- GARAGOUNIS C. und EIGENFELD R.: Phyllonitisierung an der S. Basis des Olympos-Gebirges nördlich Deléria bei Larissa, Thessalien, Griechenland. *Z. deutsch geol. Ges.*, Band 120, Jahrgang, 1968.
- GEORGIADES A.: Contribution à l' étude des granites de la Grèce du Nord. *Practika Académie Athènes*, 29, p. 326 - 336, 1954.
- GODFRIAUX J.: Note préliminaire sur la Géologie des Piéria, (région de l' Olympe, Grèce). *Comptes rend. somm. Soc. Géol. France*, p. 242-245, 1958.
- GODFRIAUX J.: Sur la présence de l' Eocène dans les calcaires de l' Olympe. *Bull. Soc. Geol. France*, 7, p. 49-54, 1962a.
- GODFRIAUX J.: L' Olympe: une fenêtre tétonique dans les Hellenides internes. *Comptes rend. Ac. Sc., E.* 255, p. 1761, 1962b.
- GODFRIAUX J.: Sur le métamorphisme de la zone pélagonienne orientale (Région de l' Olympe, Grèce). *Bull. Soc. Géol. France*, (7), VI, p. 146-162, 1964a.
- GODFRIAUX J.: Contribution à l' étude stratigraphique de l' Olympe (Thessalie septentrionale, Grèce). *Ann. Soc. Géol. Nord. Lille*, T. LXXXIV, 1964b.
- GODEFRIAUX J. et MERCIER J.: Essai de comparaison des massifs thessaliens et macédoniens. *Ann. Soc. Géol. Nord. Lille* 84 p. 205-221, 1964.
- GODFRIAUX J.: Etude géologique de la région de l' Olympe (Grèce). *Annales Géol. p. Hellén.*, 19, p. 1-271, 1970.
- GODFRIAUX J.: L' Olympe. Réunions extraordinaires des sociétés géologiques de France et de Grèce. 9 Septembre-25 Septembre 1976. *Extrait dy Bull. Soc. Géol. France*, 1977(7), Tome XIX, no 1, p. 45-49, 1977.
- JUNG D. und SCHNEIDER H.: Neue Beobachtungen im Ostthessalischen Quartär. *Annales Univers. Saraviensis*, Naturwiss. Scientia. IX 3/4, 1960/61.

- JUNG D.: Die Geologie des Gebietes von Chasambali (Thessalien). *Practika Akademie Athen* 36, p. 149-154, 1961.
- KATSIKATSOS G., MIGIROS G., VIDAKIS M.: La structure géologique de la région de la Thessalie orientale (Grèce). *26e Congrès géologique Internationale*, Paris, 1980 (ύπό έκτύπωσιν).
- MELENTIS J. und SCHNEIDER H.: Eine neue Pikermifauna in der Nähe der Ortschaft Alifaka in Thessalien. *Annales Géol. p. Hellén.*, XVII, p. 267-288, 1966.
- PANAGOY A.: Πετρολογική μελέτη τῆς περιοχῆς Ἀγιαῖς ἐν Ἀνατολικῇ Θεσσαλίᾳ. *Annales Géol. p. Hellén.* XI, 161-200, 1960.
- PAPASPYROU - POIMENIDOU S.: Οἱ γνεύσιοι τῆς περιοχῆς Ἀργυροπούλιον Κάτω Ὀλύμπου. *Διατριβὴ ἐπὶ διδακτορίᾳ*, Ἀθῆναι, 1966.
- PARASKEVOPOULOS G.M.: Rodingite in Serpentiniten von NW-Thessalien Griechenland, *Neues Jb. Miner. Abh.*, 112, 1 p. 47-62, 1969.
- PHILIPPSON A.: Die griechischen Landschaften. Der Nordosten der griechischen Halbinsel. Teil I. Thessalien und die Spercheios Senke. *Frankfurt am Main*, 1958.
- SAPOYNTZH M.: Περὶ τῆς ἐμφανίσεως ροδιγκίτου εἰς τὴν περιοχήν τοῦ Νοτίου Ὀλύμπου. *Annales Géol. p. Hellén.* 24p. 515-526, 1953.
- SCHNEIDER H.E.: Über den "Thessalischen See". *Annales Géol. p. Hellén.* XII, p. 315-317, 1961.
- TELLER F.: Geologische Beschreibung des südöstlichen Thessalien. *Denk. Akad. Wiss. Wien*, XL, p. 183-208, 1979.

### Σύνοψις

Περιγράφονται διά πρώτην φοράν γρανιτικαὶ διεισδύσεις εἰς τὴν περιοχήν τοῦ Κάτω Ὀλύμπου Ἀνατολικῆς Θεσσαλίας, ἐντός τοῦ μεταμορφωμένου συστήματος. Ἀντιπροσωπεύονται βασικῶς ὑπό προτεκτονικῶν γρανιτικῶν ἔως γρανοδιοριτικῶν τύπων μὲν περιωρισμένης ἐκτάσεως ἐμφανίσεις διορίτου καὶ συγνίτου, μὲν μηχανικήν ἐπίδρασιν τῆς μεταμορφώσεως ιδιαιτέρως εἰς τὰ περιφερειακά τμήματα τῶν μεγάλων πλούτων ἐμφανίσεων. Ἡ ἡλικία τῆς διεισδύσεως βάσει στρωματογραφικῶν δεδομένων τοποθετεῖται περί τοῦ πρώτου περιοδοῦ τοῦ Κορωνοτοῦς κατὰ μέσον Μεσογύρης Αἴγαρου.

Πετροχημικῶς πρόκειται διά μάγματα εἰρηνικοῦ τύπου μὲν τάσιν διαφροροπούησεως, ὅσον ἀφορᾶ τά δξινώτερα μέλη, πρός ἀσθενή καλιούχα μάγματα/τύπος „Sierra Nevada Effusivgesteine“ κατά Burri.